

두께의 변화비가 고분자의 유동특성에 미치는 영향

Effects of Thickness Contraction Ratios on the Flow Characteristics of Polymer Melts

#이호상¹¹H. S. Lee(lhs@cjnu.ac.kr)¹충주대학교 항공·기계설계학과

Key words : birefringence, viscoelasticity, contraction, expansion, pressure, stress

1. 서론

렌즈, CD 기판, LCD 백라이트 도광판 등 정밀 플라스틱 광학 부품의 수요가 크게 증가하면서 고분자 수지의 유동 과정에서 발생하는 복굴절 거동에 대한 과학적인 이해의 중요성이 더욱 커지고 있다. 일반적으로 고분자 성형에서 두께가 급격히 변하는 유동영역이 존재하게 되며, 대표적으로 사출성형의 러너, 게이트 및 캐비티 연결부위, 압출 성형의 입구영역 등에서 급격한 수축 및 확산 유동을 겪게 된다. 고분자의 점탄성 특성으로 인하여 급격한 두께 변화가 있는 영역에서의 유동을 제대로 해석하기 어려우며, 이로 인하여 플라스틱 제품의 게이트 주변 또는 두께가 급격히 변하는 부위에서 발생하는 압력손실, 응력 및 복굴절 등을 정확하게 예측하는 것이 중요한 과제로 남아있다.

고분자의 입구유동에 대한 점탄성 해석은 Maxwell 구성 방정식에 기초한 연구와 Leonov 구성방정식을 적용한 점탄성 해석 등이 많이 이루어져왔다^{1~3}. 특히, Isayev는 Leonov 구성방정식을 기초로 유선적분 알고리듬을 개발하여 고분자 유동에서 발생하는 응력성분을 계산하고 실험결과와 잘 일치하는 성공적인 결과를 보고하였다^{2,3}. 그동안 급격한 수축 또는 확산 유동에 대한 점탄성 해석은 수렴성 향상을 위한 수치해석 알고리듬 개발에 대한 연구가 대부분이고, 사용한 수지는 PTT(Passenger Tire Tread) 고무, Polyisobutylene, Polyethylene 등이다.

본 논문에서는 점탄성 해석을 적용하여 두께가 급격히 변하는 유동영역에서 두께의 변화비가 복굴절에 미치는 영향, 그리고 유동방향을 반대로 하였을 경우 복굴절의 변화를 고찰하였다. 사용한 수지는 복굴절에 의하여 품질 영향을 크게 받으며 광학부품 성형에서 많이 사용되는 폴리카보네이트이며, 해석은 Leonov 구성방정식을 기초로 2 차원 유동장에 대한 유한요소법을 사용하였다.

2. 해석이론

관성력을 무시한 비압축성 정상상태 유동에 대한 연속 방정식과 운동방정식은 각각 다음과 같다.

$$\nabla \cdot v = 0 \quad (1)$$

$$\nabla \cdot \tau = 0 \quad (2)$$

여기서 v 는 속도벡터, τ 는 응력텐서를 나타낸다.

Leonov 모델을 사용한 구성방정식은 다음과 같이 표현될 수 있다.

$$\tau = -p\delta + \eta_0 s(\nabla v + \nabla v^T) + \sum_{k=1}^N \eta_k C_k \quad (3)$$

$$v \cdot \nabla C_k - \nabla v^T \cdot C_k - C_k \cdot \nabla v + \frac{1}{2\theta_k} (C_k \cdot C_k - \delta) = 0 \quad (4)$$

여기서 δ 는 단위텐서, p 는 압력, s 는 유변학적 물성치, 그리고 C_k 는 Leonov 모델에서 k^{th} 모드의 탄성 변형률 텐서를 나타내며, η_k 와 θ_k 는 각각 k^{th} 모드의 전단점성 (shear viscosity) 및 이완시간(relaxation time)이다. 또한 η_0 는 전단속도 0인 경우의 점도이며, s 는 0과 1 사이의 유변학적 물성변수이다.

뉴튼유체에 기초하여 속도장에 대한 초기치를 가정하고,

식 (4)로부터 탄성 변형율텐서 C_k 를 계산한 후 식(1)과 (2)로부터 속도장과 압력장을 계산한다. 위와 같은 과정은 속도장과 응력장이 수렴할때까지 반복적으로 이루어진다. 계산된 법선응력과 전단응력을 기초로 하여 광응력법칙을 사용하여 다음과 같이 복굴절이 계산된다.

$$\Delta n = C_\sigma ((\tau_{11} - \tau_{22})^2 + 4\tau_{12}^2)^{1/2} \quad (5)$$

여기서 C_σ 는 광응력계수(stress optical coefficient)이다.

속도와 압력을 계산하기 위하여 유한요소법을 사용하였다. 삼각요소를 기초로 하여 속도는 2 차원 형상함수, 그리고 압력은 1 차원 형상함수를 적용하였으며, 자세한 유한요소식과 경계조건식은 참고문헌²에 나타나 있다.

3. 결과

Fig.1에서 나타난 바와 같이 4:1의 수축비를 갖는 모델(Cell A)과 2:1의 수축비를 갖는 모델(Cell B) 각각에 대하여 유한요소해석을 수행하였으며, 156개의 요소와 361개의 절점은 사용하였다. 반면에 확산유동에 대한 해석은 수축유동의 경우와는 유동방향을 반대로 설정하여 두께가 얇은 쪽이 입구영역이 되도록 경계조건을 설정하였다.

유량 및 압력손실이 복굴절에 미치는 영향을 고찰하기 위하여 광학부품 성형에서 많이 적용되는 폴리카보네이트(Panlite AD5503) 수지를 사용하였다. 폴리카보네이트 수지에 대한 점탄성 해석을 위하여 Greener⁴가 측정한 점도테이터를 기초로 최소자승(Least Square Fitting) 방법을 적용하여 Leonov 구성방정식에서 사용되는 물성치를 계산하였다.

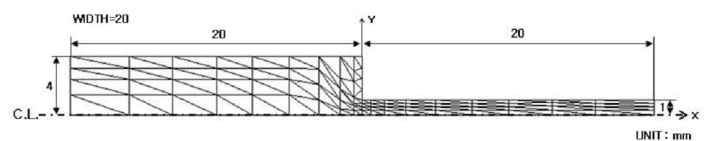
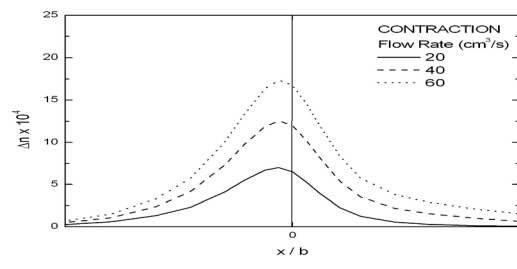
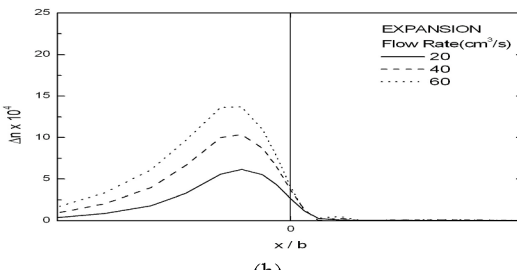


Fig. 1 Finite element meshes with geometrical dimensions

Fig.2와 Fig.3은 각각 Cell A와 Cell B에 대하여 수축유동 및 확산유동에 대하여 유량에 따른 중심선에서의 복굴절을 나타낸 것이다. 급격한 수축유동의 경우 두께가 큰 영역에서 복굴절이 생성되기 시작하여 두께가 얇은 영역을 통과할 때 최대값을 갖고 있음을 볼 수 있다. 이후 복굴절은 응력이 완과 함께 얇은 영역에서 급격히 줄어들게 되고, 유량이 클수록 복굴절이 유지되는 길이가 증가하고 있음을 알 수 있다. 한편 확산유동의 경우 두께가 얇은 영역에서는 복굴절이 거의 생성되지 않으며, 두꺼운 영역으로 들어가기 직전에 비로서 생성되기 시작하고 있음을 알 수 있다. 이후 두꺼운 영역을 통과한 이후에 최대값을 나타내며, 두꺼운 영역에서 이완되고 있음을 볼 수 있다. 또한 유량이 증가함에 따라 복굴절의 최대값이 나타나는 위치가 아래방향으로 이동하며, 이완되는 기울기가 작아지고 있음을 알 수 있다. 수축비가 2:1인 경우인 Cell B는 수축비가 4:1인 경우인 Cell A에 비하여 복굴절 크기가 1/10 정도로 매우 작으며, 수축유동과 압축유동의 복굴절 차이가 거의 없음을 알 수 있다.

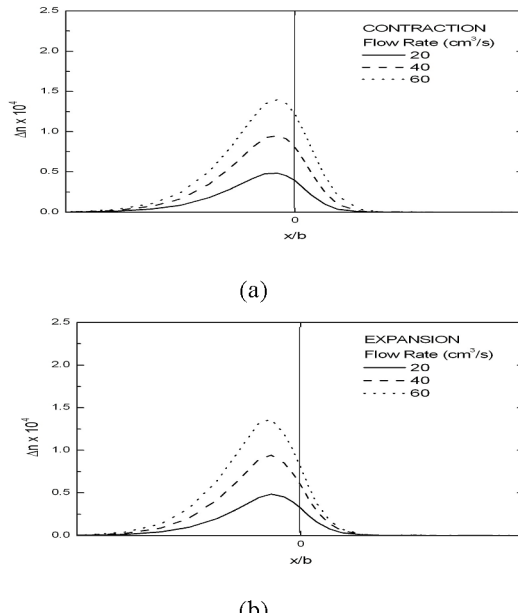


(a)



(b)

Fig.2 Birefringence along centerline for contraction (a) and expansion (b) flow at different flow rates in cell A



(a)

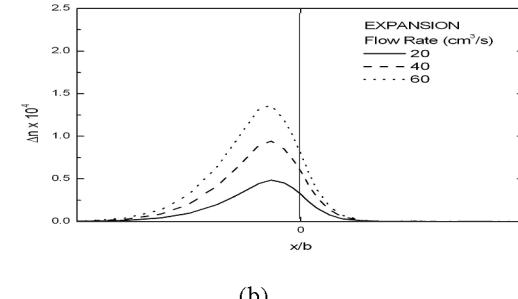


Fig.3 Birefringence along centerline for contraction (a) and expansion (b) flow at different flow rates in cell B

Fig.4 와 Fig.5 는 각각 Cell A 및 Cell B에 대하여 유량 60 cc/sec 의 수축유동인 경우 다양한 축방향 단면에서 두께 방향으로의 복굴절 변화를 나타내고 있다. 입구영역에서 복굴절은 중심에서 벽쪽으로 갈수록 선형적으로 증가하나, 두께가 얇은 영역에 가까운 단면에서는 중간에 복굴절의 최대값이 존재하고 벽쪽으로 갈수록 다시 감소하고 있음을 볼 수 있다. 이는 두께가 급격히 변하는 영역에서 재순환 유동이 발생하면서 중심에서는 변형량이 크게 발생하고 벽면에서는 변형량이 작아지기 때문으로 판단된다. 또한 수축비가 큰 Cell A의 경우 복굴절이 작은 영역이 수축비가 작은 Cell B에 비하여 크게 형성되고 있음을 볼 수 있다.

Fig.6 은 유량에 따른 두께 중심부위에서 발생하는 최대 복굴절의 변화를 나타내고 있다. 유량이 증가함에 따라 복굴절이 증가하고 있으며, 확산유동의 경우보다 수축유동에서 더욱 크게 발생하고 있음을 볼 수 있다. 특히, 유량이 증가할수록 확산유동과 수축유동 사이의 복굴절 차이는 더욱 커짐을 볼 수 있는데, 이는 유량이 증가할수록 탄성 효과가 더욱 커지게 되고 이로인하여 복굴절 차이가 증가하는 것으로 판단된다.

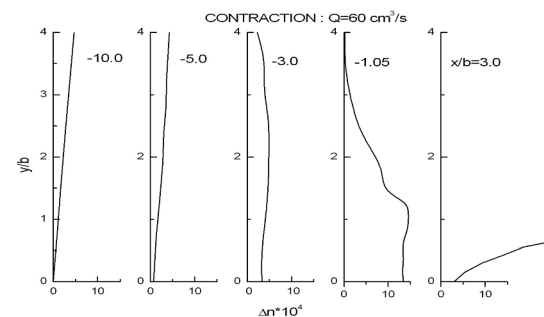


Fig. 4 Gapwise birefringence distribution at different cross section in contraction flow in cell A

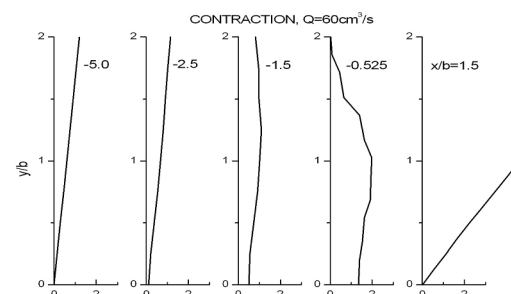


Fig. 5 Gapwise birefringence distribution at different cross section in contraction flow in cell B

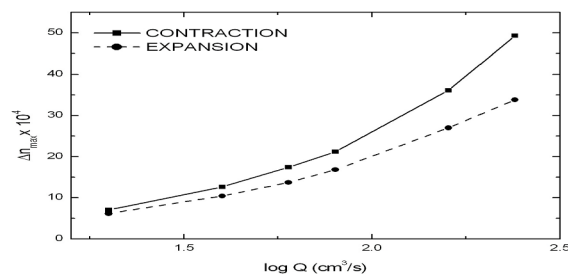


Fig.6 Birefringence maximum along centerline versus flow rate in Cell A

4. 결론

4:1 및 2:1로 두께가 급격히 변하는 유동영역에 대하여 Leonov 구성방정식을 기초로 유한요소해석을 수행하고 수축비 및 유량이 복굴절에 미치는 영향에 대하여 고찰하였다. 수축비가 작을수록 복굴절 크기는 감소하였으며, 유량이 증가함에 따라 복굴절이 증가하였고, 확산유동의 경우보다 수축유동에서 더욱 크게 발생하였다. 특히, 유량이 증가할수록 확산유동과 수축유동 사이의 복굴절 차이는 더욱 크게 발생하였다.

참고문헌

- Isayev A.I., Upadhyay R.K., "Two-dimensional viscoelastic flows: experimentation and modeling", J Non-Newtonian Fluid Mech, **19**, 135-160, 1985
- Upadhyay R.K., Isayev A.I., "Simulation of two-dimensional planar flow of a viscoelastic fluid", Rheological Acta, **25**, 80-94, 1986
- Isayev A. I., Huang Y.H., "Two-dimensional planar flow of a viscoelastic plastic medium", Rheological Acta, **32**, 181-191, 1993
- Greener J., Kesel R. and Contestable B.A., "The birefringence problem in optical disk substrate: a modeling approach", AIChE J, **35**, 449-458, 1989